

УДК 621.391;519.21;519.245

© А. В. Меркушева, Г. Ф. Малыхина

## МЕТОД ОБОБЩЕННОГО ПРЕОБРАЗОВАНИЯ ФУРЬЕ ДЛЯ ВРЕМЯ-ЧАСТОТНЫХ ПРЕОБРАЗОВАНИЙ, МУЛЬТИПЛЕКСИРОВАНИЯ И ФИЛЬТРАЦИИ НЕСТАЦИОНАРНЫХ СИГНАЛОВ В ИНФОРМАЦИОННЫХ СИСТЕМАХ

Предлагается расширенная форма трактовки обобщенной модификации преобразования Фурье (ПФ) с использованием операторной формы и концепции собственных функций. Разработанные виды обобщения ПФ процедурно связаны с вращением время-частотной плоскости (отсюда термин "вращаемое ПФ"— ВПФ) и реализуются в новых разновидностях рядов Фурье и ПФ дискретного времени. Здесь рассмотрены соотношения ВПФ с время-частотными преобразованиями, с сигналами с быстро изменяющейся частотой, возможности ВПФ при мультиплексировании и фильтрации нестационарных сигналов в информационных системах.

### ВВЕДЕНИЕ

Обобщенная модификация преобразования Фурье (ПФ), введенная Намиасом, Мак-Брайдом и Кером в прикладной математике и квантовой физике [1, 2], реализована оптическими методами Лохманом, Мендловичем и Озактасом [3, 4, 5], а затем нашла развитие в области методов ПФ для спектрального анализа сигналов в информационных системах (ИС).<sup>1)</sup> Преобразования, ведущие к обобщению существующих разновидностей схем ПФ, связаны с вращением время-частотной плоскости, поэтому для этих схем используется аббревиатура ВПФ — вращаемое преобразование Фурье: ряды ВПФ, ВПФ дискретного времени [6]. Действие ВПФ на сигнал переводит его в область значений ВПФ — в двумерное пространство, одной из компонент которого служит угловой параметр ВПФ. С помощью аналитических преобразований получен результат применения ВПФ к разнообразным сигналам специальной формы, к произведениям и к сверткам сигнала с простыми типами передаточных функций.<sup>2)</sup>

<sup>1)</sup> Термин "информационная система", использованный здесь ради краткости, подразумевает любую из информационно-измерительных систем (ИИС) или информационно-управляющих систем (ИУС), в которых осуществляется контроль и обработка измеряемых или синтезируемых (для управления), как правило, нестационарных сигналов.

<sup>2)</sup> Многие свойства ВПФ нашли отражение в обзоре [7], который содержит также библиографические указания.

Несмотря на существование эффективного способа реализации ВПФ оптическим методом и достаточно полной систематизации свойств прямого и обратного ВПФ на сигналах-функциях и их комбинациях, использование методов обобщенной модификации ПФ в приложениях, связанных с обработкой нестационарных сигналов в ИС, сдерживается недостаточной проработкой отдельных методических аспектов применения этого преобразования. Поэтому представляется полезным показать возможности использования ВПФ в задачах мультиплексирования и фильтрации сигналов в ИС и отметить специфику сигналов (в области их частотно-временной структуры), при которой методы ВПФ могут оказаться более эффективными сравнительно с традиционными способами мультиплексирования и частотной фильтрации. Кроме того, проанализирована взаимосвязь ВПФ с время-частотными преобразованиями общего вида, с преобразованием Радона и с сигналами типа СБИЧ (сигналами с быстро изменяющейся частотой; чаще всего с линейным изменением).

Предварительно дана расширенная трактовка обобщенной модификации преобразования Фурье с использованием операторной формы и концепции собственных функций.

### ОПЕРАТОРНАЯ ФОРМА ВПФ И СВОЙСТВА ПРЕОБРАЗОВАНИЯ [8, 9]

В наиболее компактной форме прямое и обратное ПФ сигнала  $s(t)$  представляется в виде соотношений:

$$S(v) = \int_{-\infty}^{\infty} s(t) \exp(-2\pi jvt) dt,$$

$$s(t) = \int_{-\infty}^{\infty} S(v) \exp(2\pi jvt) dv.$$

Введение операторной формы позволяет представить прямое ПФ (первое соотношение)<sup>3)</sup> как  $S = \mathbf{F} s$ . При этом  $\mathbf{F}^2 s(t) = s(-t)$  и  $\mathbf{F}^4 s(t) = s(t)$ , где  $\mathbf{F}^n$  означает повторное  $n$ -кратное применение ПФ.

Если к уравнению

$$\frac{d^2 s(t)}{dt^2} + 4\pi^2 \left( \frac{2n+1}{2\pi} - t^2 \right) s(t) = 0, \quad (1)$$

где в качестве функции  $s(t)$  временно не имеется в виду какой-либо определенный сигнал, применить ПФ (с использованием правил для ПФ от  $\frac{d^2 s(t)}{dt^2}$  и от  $t^2 \cdot s(t)$ ), то уравнение (1) преобразуется в свою "частотную" форму (2):

$$\frac{d^2 S(v)}{dv^2} + 4\pi^2 \left( \frac{2n+1}{2\pi} - v^2 \right) S(v) = 0, \quad (2)$$

где  $S(v) = \mathbf{F}[s(t)]$ .

Уравнение (2) по форме идентично (1). Но поскольку решением уравнений такого вида являются функции Эрмита—Гаусса<sup>4)</sup>  $H_n(\sqrt{2\pi} t) \exp(-\pi t^2)$ , то именно эти функции являются (исходя из (2)) собственными функциями операции (оператора) преобразования Фурье.

Нормированные функции Эрмита—Гаусса  $\{\tilde{\Psi}_n(t)\}_{n=1,2,\dots}$  служат набором, образующим базис, и имеют вид

$$\tilde{\Psi}_n(t) = \frac{\sqrt[4]{2}}{\sqrt{2^n n!}} H_n(\sqrt{2\pi} t) \exp(-\pi t^2). \quad (3)$$

Эти функции являются собственными функциями оператора ПФ  $\mathbf{F}$ , т. е. удовлетворяют уравнению

$$\mathbf{F}(\tilde{\Psi}_n(t)) = \lambda_n \tilde{\Psi}_n(t), \quad (4)$$

где  $\lambda_n = j^{-n}$  — собственные значения, соответ-

<sup>3)</sup> Далее интегрирование  $\left( \int_{-\infty}^{\infty} \right)$  будет писаться (для краткости) без указания пределов.

<sup>4)</sup>  $H_n(\cdot)$  — функция Эрмита (полином  $n$ -порядка). Уравнение (2) является почти классическим уравнением математической физики и может быть найдено, например, в [10–12].

ствующие  $n$ -й собственной функции.

Поскольку собственные функции Эрмита—Гаусса  $\{\tilde{\Psi}_n(t)\}_{n=1,2,\dots,\infty}$  составляют базис, то любой сигнал (как функция) может быть представлен рядом по этим собственным функциям:

$$s(t) = \sum_{n=0}^{\infty} \tilde{A}_n \tilde{\Psi}_n(t), \quad (5)$$

где коэффициенты  $\tilde{A}_n = \int \tilde{\Psi}_n(t) s(t) dt$ .

Применение к (5) оператора  $\mathbf{F}$  позволяет получить в аналогичной форме представление ПФ сигнала  $s(t)$ :

$$\mathbf{F}(s(t)) = \sum_{n=0}^{\infty} \tilde{A}_n j^{-n} \tilde{\Psi}_n(t). \quad (6)$$

Оператор вращаемого преобразования Фурье порядка  $\alpha$  (т. е.  $\mathbf{F}^\alpha$ ) может быть определен на основе действия оператора традиционного ПФ на свои собственные функции:

$$\mathbf{F}^\alpha(\tilde{\Psi}_n(t)) = (\lambda_n)^\alpha \tilde{\Psi}_n(t) = (j)^{-\alpha n} \tilde{\Psi}_n(t). \quad (7)$$

Таким образом, оператор ВПФ имеет те же собственные функции, что и оператор ПФ, а собственные значения ВПФ с угловым параметром  $\alpha$  равны значению  $(\lambda_n)^\alpha$ .

Оператор ВПФ является линейным, поэтому ВПФ любого сигнала может быть выражено рядом, который по структуре аналогичен ряду (6):

$$\{\mathbf{F}^\alpha(s(t))\}(t) = \sum_{n=0}^{\infty} \tilde{A}_n j^{-\alpha n} \tilde{\Psi}_n(t). \quad (8)$$

Результат применения к сигналу оператора ВПФ может быть представлен также в виде (чаще используемом) интегрального преобразования с ядром  $B_\alpha(t, t')$  [1, 2, 8]. Это осуществляется подстановкой в (8) выражения для коэффициентов  $\tilde{A}_n$  из (5):

$$\{\mathbf{F}^\alpha(s(t))\}(t) = \int B_\alpha(t, t') s(t') dt', \quad (9)$$

$$B_\alpha(t, t') = \sum_{n=0}^{\infty} (\lambda_n)^\alpha \tilde{\Psi}_n(t) \tilde{\Psi}_n(t') =$$

$$= \sqrt{2} \exp[-\pi(t^2 + t'^2)] \times$$

$$\times \sum_{n=0}^{\infty} \frac{j^{-\alpha n}}{2^n n!} H_n(\sqrt{2\pi} t) H_n(\sqrt{2\pi} t'). \quad (10)$$

Из выражения (10) ядра ВПФ может быть получена более простая форма (11). Это реализуется путем использования у ВПФ вместо  $\alpha$  приведен-

ной (или "нормированной") величины<sup>5)</sup>  $\varphi$ :  $\varphi = \alpha / (\pi/2)$ . При вращении время-частотной плоскости на угол  $\alpha$  в пределах  $0 < \alpha < \pi$ , "нормированный" параметр  $\varphi$  меняется в пределах  $0 < \varphi < 2$ :

$$B_{\varphi}(t, t') = \frac{e^{(-j(\pi\hat{\alpha}/4 - \alpha/2))}}{|\sin \alpha|^{1/2}} \times \exp\left(j\pi\left(t^2 \operatorname{ctg} \alpha - 2tt' \operatorname{cosec} \alpha + t'^2 \operatorname{ctg} \alpha\right)\right), \quad (11)$$

где  $\alpha = \varphi \cdot \pi/2$  и  $\hat{\alpha} = \operatorname{sign}(\sin \alpha)$ .

Следует заметить, что выражения (7)–(10) не зависят от нормировки параметра  $\alpha$  и остаются справедливыми при любой интерпретации параметра ВПФ — и как фактического углового параметра  $\alpha$ , и как нормированного параметра  $\varphi$ .

Ядро (11), определенное отдельно для  $\varphi = 0$  и  $\varphi = 2$ , получает упрощенное значение; оно выражается дельта-функциями:<sup>6)</sup>  $B_0(t, t') = \delta(t - t')$ ;  $B_2(t, t') = \delta(t + t')$ .

Из основных свойств оператора ВПФ, приведенных в достаточно полной форме в [3, 5, 7, 13], полезно отметить наиболее важные и используемые в последующем анализе:

- линейность оператора ВПФ ( $\mathbf{F}$ );
- соответствие оператора  $\mathbf{F}^{(\varphi=1)}$  (т. е.  $\mathbf{F}^{(\alpha=\pi/2)}$ ) традиционному оператору ПФ ( $\mathbf{F}$ );
- аддитивность оператора ВПФ по угловому параметру  $\mathbf{F}^{\alpha_1} \mathbf{F}^{\alpha_2} = \mathbf{F}^{\alpha_1 + \alpha_2}$ .

С точки зрения реализации ВПФ небезынтересна возможность его применения к двумерному сигналу  $s(t_1, t_2)$  (например, к изображению) и выполнение этого преобразования оптическими методами [3, 5]. ВПФ описывает распространение луча (эмулирующего сигнал) в оптической среде с квадратично изменяющимся коэффициентом преломления, и если свет с распределением интенсивности  $s(t_1, t_2)$  падает на одну сторону такой оптической среды с толщиной  $\alpha L$ , то на другой стороне этого слоя получается двумерное ВПФ с параметром  $\alpha$ . Так что "кусочек" такой оптической среды может использоваться для аналогового вычисления ВПФ.

<sup>5)</sup> Именно с этим преобразованием связано встречающееся для ВПФ название его "дробным преобразованием Фурье" [1, 2].

<sup>6)</sup> Дельта-функция  $\delta(\cdot)$  является аналогом  $\delta$ -символа Кронекера; основное свойство  $\delta(\cdot)$  выражается соотношением:

$$\int_a^b f(u) \delta(u - u') du = f(u') \text{ при } u' \in [a, b] \\ \text{и равняется нулю при } u' \notin [a, b].$$

Далее у координатных переменных в области ВПФ будут использоваться индексы типа  $t_{\alpha}$ . Так что  $t_0 = t$  и  $t_{\pi/2} = v$ ;  $s_{\alpha}$  — ВПФ сигнала,  $s_0 = s$ ,  $s_{\pi/2} = S$  (где  $S$  — ПФ сигнала  $s$ ). Кроме того, время-частотное преобразование (ВЧП) Вигнера—Вилле в зависимости от контекста будет обозначаться как  $\mathbf{W}[s]$ ,  $\mathbf{W}[s](t, v)$  или как  $S_w(t, v)$ .

#### ВПФ И ВРЕМЯ-ЧАСТОТНОЕ ПРЕОБРАЗОВАНИЕ ВИГНЕРА—ВИЛЛЕ

Взаимосвязь ВПФ сигнала и его ВЧП Вигнера—Вилле является отражением одного из наиболее значительных свойств ВПФ.<sup>7)</sup> Свойство состоит в том, что применение операции ВПФ с параметром  $\alpha$  к сигналу  $s(t)$  соответствует вращению распределения (результата преобразования) Вигнера—Вилле на угол  $\alpha$  по часовой стрелке. Распределение на время-частотной плоскости, получаемое в результате ВЧП Вигнера—Вилле, определяется соотношением:

$$\mathbf{W}[s(t)] = S_w(t, v) = \int s(t + t'/2) \cdot s^*(t - t'/2) \cdot \exp(-2\pi jvt') dt', \quad (12)$$

где  $\mathbf{W}$  — оператор ВЧП Вигнера—Вилле;  $S_w(t, v)$  — время-частотное распределение, результат ВЧП сигнала  $s(t)$  [14–17]; \* — символ комплексного сопряжения.

Базовые свойства преобразования Вигнера—Вилле свидетельствуют, что его маргиналы (интегралы по одной из переменных результата ВЧП) дают распределение энергии сигнала (квадрата его модуля) в частотной и во временной областях, а полное интегрирование дает соответственно полную энергию сигнала:

$$|s(t)|^2 = \int S_w(t, v) dv, \\ |S_w(v)|^2 = \int S_w(t, v) dt;$$

полная энергия сигнала равна  $\int S_w(t, v) dt$ ;  $S_w(t, v)$  интерпретируется как двумерное распределение энергии сигнала во время-частотной области.<sup>8)</sup>

Более сложные свойства получаются из рассмотрения вращения время-частотного распределения

<sup>7)</sup> Это свойство в [2] даже использовалось в качестве определения ВПФ, но затем было показано, что такое определение полностью эквивалентно (более естественно трактуемому) определению, которое опирается на вращение время-частотной плоскости.

<sup>8)</sup>  $S_w(t, v)$  может также быть выражено через спектральную функцию (ПФ) сигнала  $S(v)$  или даже в виде функции от ВПФ сигнала  $s(t)$  при любом  $0 < \alpha < \pi$ .

Вигнера—Вилле (результата этого ВЧП) и применения к нему преобразования Радона. Так, если ввести оператор  $\mathbf{R}_\alpha$  вращения двумерного распределения на угол  $\alpha$  против часовой стрелки, то применение этого оператора к соотношению (12) и сравнение полученного результата с распределением Вигнера—Вилле для ВПФ с параметром  $\alpha/(\pi/2)$  приводит к соотношению (13) или к эквивалентному ему соотношению (14):

$$\mathbf{R}_{-\alpha} \mathbf{W}[s_0] = \mathbf{W}[s_{\alpha/(\pi/2)}], \quad (13)$$

$$\mathbf{W}[s_\alpha] = \mathbf{R}_{-\alpha/(\pi/2)} \mathbf{W}[s_0]. \quad (14)$$

Поскольку и оператор ВПФ, и оператор вращения  $\mathbf{R}_\alpha$  имеют свойство аддитивности относительно своих угловых параметров (т. е.  $\mathbf{R}_{\alpha_1} \mathbf{R}_{\alpha_2} = \mathbf{R}_{\alpha_1 + \alpha_2}$  и  $\mathbf{F}^{\alpha_1} \mathbf{F}^{\alpha_2} = \mathbf{F}^{\alpha_1 + \alpha_2}$ ), то аналогичное свойство переносится на взаимосвязь оператора Вигнера—Вилле с оператором вращения результата применения ВЧП к сигналу [7]. Расширенное свойство аддитивности по угловым параметрам операторов  $\mathbf{R}_\alpha$  и  $\mathbf{W}[s_\alpha]$  определяется соотношением

$$\mathbf{W}[s_{\alpha_2}] = \mathbf{R}_{(-\alpha_2/(\pi/2) + \alpha_1/(\pi/2))} \mathbf{W}[s_{\alpha_1}]. \quad (15)$$

Еще одно свойство, связанное одновременно с ВПФ, ВЧП Вигнера—Вилле и с преобразованием Радона, установлено Лохманом [5, 8]. Преобразование Радона<sup>9)</sup>  $\mathbf{RAD}_\psi$  некоторой функции двух переменных (такой, как распределение Вигнера—Вилле) зависит от углового параметра (назовем его  $\psi$ ), и результатом преобразования является проекция этой функции на ось, составляющей угол  $\psi$  с осью  $t$  (в координатной системе  $(t, v)$ ). При этом термин "проекция" понимается (в смысле функционального анализа) как интеграл преобразуемой функции вдоль соответствующей оси. Используя введенные обозначения, анализируемое свойство выражается соотношением (16) или эквивалентным ему соотношением (17):

$$\mathbf{RAD}_\psi \{ \mathbf{W}[s] \} = \left| \mathbf{F}^{[\alpha = \psi/(\pi/2)]} [s] \right|^2, \quad (16)$$

$$\left| \mathbf{F}^\alpha [s] \right|^2 = \mathbf{RAD}_{(\psi = \alpha\pi/2)} \{ \mathbf{W}[s] \}. \quad (17)$$

Оператор преобразования Радона в соответствии с трактовкой его процедуры может быть связан с оператором вращения  $\mathbf{R}$  соотношением (18)

$$\mathbf{RAD}_{(\psi = \alpha)} \{ \mathbf{W}[s](t, v) \} = \int \mathbf{R}_{-\alpha} \{ \mathbf{W}[s](t, v) \} dv, \quad (18)$$

где операторы  $\mathbf{RAD}$  и  $\mathbf{R}$  действуют на распределение Вигнера—Вилле (сигнала) в точке  $(t, v)$ .

Соотношения (17) и (18) отражают обобщенные свойства распределения Вигнера—Вилле, которые получены при его анализе совместно с оператором ВПФ, и операторами вращения, и Радона. Еще одно обобщение получается, если дополнительно ввести так называемый оператор среза  $\mathbf{S}_\alpha$ . Действие этого оператора на время-частотное распределение (или любую другую функцию) таково, что результатом являются значения ВЧР на оси, составляющей угол  $\alpha$  с осью времени в плоскости время—частота, т. е. в координатной системе  $(t, v)$ . Кроме того, результат применения  $\mathbf{S}_\alpha$  является одномерной функцией, т. к. две переменные ВЧР теперь принадлежат одной прямой. (Заметим, что после интегрирования оператор среза дает оператор Радона, и в этом их сходство и различие).

Понятие оператора среза позволяет представить еще одно обобщенное свойство ВЧП Вигнера—Вилле, которое объединяет это ВЧП с операторами среза, Радона, ПФ и двумерным ПФ ( $\mathbf{F}_2$ ). Это свойство выражается соотношением (16)<sup>10)</sup>

$$\mathbf{F} \cdot \mathbf{RAD}_{(\psi = \alpha)} \cdot \mathbf{W}[s] = \mathbf{S}_\alpha \cdot \mathbf{F}_2 \cdot \mathbf{W}[s]. \quad (16)$$

### ДИСКРЕТНОЕ ВПФ

Дискретные сигнал  $(\{s_i\}_{i=0, 1, \dots, N-1})$  и его N-точечное ПФ  $(\{S_k\}_{k=0, 1, \dots, N-1})$  связаны соотношениями [19]:

$$S_k = \sum_{i=0}^{N-1} s_i w^{ki}; \quad s_i = \sum_{k=0}^{N-1} S_k w^{-ki}, \quad (20)$$

где  $w^{ki} = (1/\sqrt{N}) \exp(-2\pi jki/N)$ .

В операторной форме (в нашем дискретном случае оператор — это матрица) соотношения (20) представляются в виде (21):

$$\mathbf{S} = \mathbf{F} \cdot \mathbf{s}; \quad \mathbf{s} = \mathbf{F}^{-1} \cdot \mathbf{S}, \quad (21)$$

где  $\mathbf{S} = [S_0, S_1, \dots, S_{N-1}]^T$  и  $\mathbf{s} = [s_0, s_1, \dots, s_{N-1}]^T$  — векторы; оператор-матрица  $\mathbf{F}$  имеет в качестве своих

<sup>9)</sup> Преобразование Радона, аналитическая форма которого введена в математике достаточно давно (как и ВПФ), только сравнительно недавно стало использоваться в томографии [18], а в последнее время находит применение в методах обработки изображений.

<sup>10)</sup> Упомянем еще одно обобщенное свойство. Форма его использует дополнительное понятие ВЧП  $\mathbf{A}$ , двойного относительно ВЧП Вигнера—Вилле:  $\mathbf{A}(v, t) = \int s(\tau + t/2) s^*(\tau - t/2) e^{-2\pi jv\tau} d\tau$ . Обобщенное свойство выражается соотношением:  $\mathbf{F} \cdot \left| \mathbf{F}^\alpha [s] \right|^2 = \mathbf{S}_{\alpha/(\pi/2)} [\mathbf{A}(v, -t)]$ . Это свойство является двойственным по отношению к свойству (17).

элементов  $\{F_{ik} = w^{(i-1)(k-1)}\}_{i,k=0,1,\dots,N-1}$ , а оператор  $\mathbf{F}$  представляет ВПФ  $\mathbf{F}^{(\varphi=1)} = \mathbf{F}^{(\alpha=\pi/2)}$ .

При этом  $\mathbf{F}^{(\alpha=2\pi)} = \mathbf{F}^{(\varphi=2)} \mathbf{I}$ ,  $\mathbf{I}$  — единичная матрица и выполняется соотношение (22), выражающее ортонормальность между строками (и между столбцами) матрицы  $\mathbf{F}$  и ее комплексно сопряженной  $\mathbf{F}^*$ :

$$\sum_{i=0}^{N-1} w^{ik} w^{-il} = \delta_{kl} \quad (k, l = 1, 2, \dots, N-1). \quad (22)$$

Уравнение, определяющее собственные значения и собственные функции оператора ВПФ (проанализированное выше для традиционного ПФ), имеет вид  $\mathbf{F}\mathbf{s} = \lambda\mathbf{s}$ , и поскольку  $\mathbf{F}^{\varphi=2} = \mathbf{I}$ , то  $\lambda^4 = 1$  и, следовательно,  $\lambda_n = \exp(-jn\pi/2) = j^{-n}$  при любых целых значениях  $n$ .

Для получения собственных значений и собственных функций матрицы (оператора) дискретного ВПФ (Д\_ВПФ) для нецелых значений углового параметра  $\varphi$  удобно воспользоваться представлением Дикинсона (Dickinson [13]) для  $\mathbf{F}^\varphi$  в виде суммы  $\mathbf{F}^{(\varphi=k)}$ , т. е. суммы матриц Д\_ВПФ с целыми значениями нормированного (или приведенного) углового параметра  $\varphi = \alpha/(\pi/2)$ :

$$\mathbf{F}^{(\varphi)} = \sum_{k=0}^3 \mathbf{F}^k p_k(\varphi), \quad (23)$$

$$p_k(\varphi) = \frac{1}{4} \sum_{i=1}^4 \exp[ji(\varphi - k(\pi/2))].$$

Представление (23)<sup>11)</sup> позволяет показать, что собственные функции у оператора Д\_ВПФ такие же, как у ПФ, а собственные значения являются  $\varphi$ -степенями от соответствующих собственных значений ПФ. Таким образом, если выполняется соотношение  $\mathbf{F}^{\varphi=1} \mathbf{s}_n = \lambda_n \mathbf{s}_n$  для целых  $n$ , то оно также выполняется и для Д\_ВПФ при нецелых значениях нормированного углового параметра:  $\mathbf{F}^\varphi \mathbf{s}_n = \lambda_n^\varphi \mathbf{s}_n$ , или  $\mathbf{F}^{\alpha/(2\pi)} \mathbf{s}_n = \lambda_n^{\alpha/(2\pi)} \mathbf{s}_n$ .

Любой дискретный сигнал (в виде вектора  $\mathbf{s}$ ) может быть представлен разложением по ортогональным собственным векторам Д\_ПФ:  $\mathbf{s} = \sum_{n=1}^N A_n \mathbf{s}_n$ , где  $A_n = \mathbf{s}_n^T \mathbf{s}$  — коэффициенты разложения. Аналогичным образом оператор Д\_ВПФ вектора  $\mathbf{s}$  — дискретизованного сигнала представляется разложением

$$\mathbf{F}^\alpha \mathbf{s} = \sum_{n=1}^N A_n \lambda_n^\alpha \mathbf{s}_n. \quad (24)$$

<sup>11)</sup> Выражение (23) справедливо для диапазона  $0 < \alpha < \pi/2$ . Для других значений  $\alpha$  применяется свойство аддитивности ВПФ относительно углового параметра:  $\mathbf{F}^{\alpha+1} = \mathbf{F} \mathbf{F}^\alpha$ .

### ВЗАИМОСВЯЗЬ ПРОЦЕДУР СВЕРТКИ И ПРОИЗВЕДЕНИЯ В ОБЛАСТИ ВПФ С ВЧР ВИГНЕРА—ВИЛЛЕ

До анализа особенностей применения мультиплексирования и фильтрации в области ВПФ в этом разделе будет рассмотрен ряд соотношений, которые связывают процедуру свертки и произведение двух сигналов (в обычном виде и в области  $\alpha$ -ВПФ<sup>12)</sup>) с время-частотным распределением Вигнера—Вилле (ВЧР\_ВВ) и с применением оператора ВПФ к результату этих операций [20, 21]. При этом будет применяться сокращенная форма записи для свертки и произведения сигналов в области ВПФ, которая ниже показана в правых частях выражений (25) и (26).

Свертку сигнала с импульсной передаточной функцией (ИПФ) фильтра или с ИПФ управляющего звена удобно анализировать на примере операторного описания свертки сигнала  $s$  и ИПФ  $h$  (ИПФ  $h$  в дальнейшем для симметрии будем условно также называть сигналом). Кроме того, для отличия от традиционной процедуры свертки  $s * h$  свертка сигналов (функций)  $s$  и  $h$  в области  $\alpha$ -ВПФ, т. е. сигналов  $s_\alpha$  и  $h_\alpha$ , будет далее обозначаться в виде  $g_\alpha = s \overset{\alpha}{*} h$ . Таким образом, запись операции свертки (с явным указанием принадлежности сворачиваемых компонент ( $s$  и  $h$ ) к области ВПФ) будет заменяться более компактной формой в соответствии с соотношением (25):

$$g_\alpha(t_\alpha) = \mathbf{F}^\alpha [g] = \mathbf{F}^\alpha [s] * \mathbf{F}^\alpha [h] = s_\alpha(t_\alpha) * h_\alpha(t_\alpha) \Rightarrow g_\alpha = s \overset{\alpha}{*} h. \quad (25)$$

При  $\alpha = 0$  эта операция переходит в обычную свертку. При  $\alpha = \pi/2$  ( $\mathbf{F}^{(\alpha=\pi/2)}$ ) переходит в операцию ПФ —  $\mathbf{F}$  она переходит в свертку ПФ от сворачиваемых компонент  $\mathbf{F}[g] = \mathbf{F}[s] * \mathbf{F}[h]$ , которая эквивалентна равенству  $g = s \cdot h$ ; следовательно, эта операция свертки равноценна произведению сворачиваемых сигналов. Свертка в области ВПФ с  $\alpha = \pi/4$  является чем-то промежуточным между обычной сверткой и произведением.

Точно так же (как для свертки) удобно ввести компактную форму представления произведения двух сигналов в области ВПФ. Смысл такой формы показывает выражение (26), построенное по аналогии с (25):

$$g_\alpha(t_\alpha) = \mathbf{F}^\alpha [g] = \mathbf{F}^\alpha [s] \times \mathbf{F}^\alpha [h] = s_\alpha(t_\alpha) \cdot h_\alpha(t_\alpha) \Rightarrow g_\alpha = s \overset{\alpha}{\times} h. \quad (26)$$

<sup>12)</sup> Ниже ради краткости будет использоваться сокращение  $\alpha$ -ВПФ вместо полного названия "ВПФ со значением углового параметра  $\alpha$ ".

Как указано выше, для свертки и произведения сигналов в области ВПФ далее будет применяться сокращенная форма записи, показанная в правой части выражений (25) и (26), а форма взаимосвязи процедур свертки и произведения сигналов в области ВПФ с ВЧР\_ВВ и применением оператора ПФ к результатам этих процедур будет представлена с использованием символа импликации<sup>13)</sup>  $\Rightarrow$ .

▪ Операция свертки двух сигналов (функций) во временной области соответствует свертке в области ВЧР Вигнера по времени:

$$g(t) = s(t) * h(t) \Rightarrow \mathbf{W}_g(t, \nu) = \int \mathbf{W}_s(t', \nu) \mathbf{W}_h(t - t', \nu) dt'$$

▪ Произведению двух сигналов  $g(t) = s(t)h(t)$  соответствует свертка ВЧР Вигнера—Вилле (ВЧР\_ВВ) по частоте:

$$g(t) = s(t)h(t) \text{ (т.е. } \mathbf{F}[g] = \mathbf{F}[s] * \mathbf{F}[h]) \Rightarrow \Rightarrow \mathbf{W}_g(t, \nu) = \int \mathbf{W}_s(t, \nu') \mathbf{W}_h(t, \nu - \nu') d\nu'$$

Сходное соотношение процедур имеется при осуществлении свертки  $\alpha$ -ВПФ сигналов и произведения ВПФ сигналов:

▪ Свертке сигналов в области  $\alpha$ -ВПФ соответствует свертка ВЧР\_ВВ (этих сигналов) по направлению  $t_\alpha$ :

$$g_\alpha = s * h \Rightarrow \Rightarrow \mathbf{W}_{g_\alpha}(t_\alpha, \nu_\alpha) = \int \mathbf{W}_{s_\alpha}(t'_\alpha, \nu_\alpha) \mathbf{W}_{h_\alpha}(t_\alpha - t'_\alpha, \nu_\alpha) dt'_\alpha$$

▪ Произведению сигналов в области  $\alpha$ -ВПФ соответствует свертка ВЧР\_ВВ (этих сигналов) по направлению  $\nu_\alpha$ :

$$g_\alpha = s \times h \Rightarrow \Rightarrow \mathbf{W}_{g_\alpha}(t_\alpha, \nu_\alpha) = \int \mathbf{W}_{s_\alpha}(t_\alpha, \nu'_\alpha) \mathbf{W}_{h_\alpha}(t_\alpha, \nu_\alpha - \nu'_\alpha) d\nu'_\alpha$$

Свойства, отражающие взаимосвязь свертки и произведения сигналов в области ВПФ, имеют более компактную форму выражения при использовании нормированного значения углового параметра  $\alpha$ , т. е. при формулировании этих свойств в терминах параметра  $\varphi = \alpha/(\pi/2)$ . Умножение двух функций  $s$  и  $h$  в области  $\varphi$ -ВПФ, т. е. в области

<sup>13)</sup> Символ импликации  $\Rightarrow$  служит для указания того, что из левого утверждения или соотношения следует правое. (Так же символ  $\Leftrightarrow$  для указания того, что оба утверждения эквивалентны, т. е. из первого следует второе и, наоборот, из второго — первое). Кроме того, чтобы избежать перегрузки формул, ВЧР Вигнера—Вилле сигнала  $s(t)$  будет обозначаться как  $\mathbf{W}_s(t, \nu)$ , или просто как  $\mathbf{W}_s$ .

ВПФ с параметром  $\alpha = \varphi(\pi/2)$ , имеет вид (27) и может быть обозначено как  $g_\varphi = s \times h$ :

$$g_\varphi(t_\varphi) = \mathbf{F}^\varphi[g] = \mathbf{F}^\varphi[s] \times \mathbf{F}^\varphi[h] = s_\varphi(t_\varphi) h_\varphi(t_\varphi) \Rightarrow g_\varphi = s \times h. \quad (27)$$

Тогда выполняются следующие соотношения, связывающие применение ВПФ к свертке и произведению сигналов (в ВПФ области) с изменением величины нормированного углового параметра:

- $\mathbf{F}^{\varphi+1} \left[ s \times h \right] = \mathbf{F}^{\varphi+1} [s] * \mathbf{F}^{\varphi+1} [h] = \mathbf{F}^{\varphi+1} \left[ s \times h \right];$

- $\mathbf{F}^{\varphi+1} \left[ s * h \right] = \mathbf{F}^{\varphi+1} [s] \times \mathbf{F}^{\varphi+1} [h] = \mathbf{F}^{\varphi+1} \left[ s * h \right];$

• два взаимно дуальные соотношения, следующие из двух приведенных выше:

$$s \times h = s * h = s * h; \quad s * h = s \times h = s \times h.$$

Это означает, что свертка с области  $\varphi$ -ВПФ соответствует умножению в области  $(\varphi + 1)$ -ВПФ или в области  $(\varphi - 1)$ -ВПФ. Таким же образом умножение в области  $\varphi$ -ВПФ соответствует свертке в области  $(\varphi + 1)$ -ВПФ или в области  $(\varphi - 1)$ -ВПФ.

**ОГРАНИЧЕНИЕ ОБЛАСТИ ОПРЕДЕЛЕНИЯ ВПФ**

В ИИС ограниченность области определения сигнала (равенство его нулю вне конечной области), называемое компактностью, реализуется почти всегда. Однако для ВПФ и ВЧР\_ВВ это не так, но компактность в этом может быть получена введением дополнительного множителя в форме прямоугольного импульса, или так называемого *прямоугольного окна* (ПО). В области  $\alpha$ -ВПФ, ПО с переменной-аргументом  $t_\alpha$ , шириной  $\Delta t_\alpha$  и началом  $t_{\alpha,0}$  имеет вид:  $\text{ПО} \left( \frac{t_\alpha - t_{\alpha,0}}{\Delta t_\alpha} \right)$ . Так что для получения свойства компактности ВПФ или ВЧР умножается на ПО:

$$g_\alpha(t_\alpha) = \left\{ \text{ПО} \left( \frac{t_\alpha - t_{\alpha,0}}{\Delta t_\alpha} \right) \right\} \times s_\alpha(t_\alpha).$$

В частности, придание компактности в области  $\alpha = \pi/2$  означает низкочастотную фильтрацию, поскольку вводится ПО на частотной оси.

Получение компактности сигнала в некоторой области  $\alpha$ -ВПФ связано с умножением его на ПО. Это соответствует свертке ВЧР\_ВВ от  $s(t_\alpha)$  с ВЧР\_ВВ от ПО, и эта свертка должна осуществ-

вляться вдоль направления  $t_{\alpha+\pi/2}$ , т. е. свертка по  $v_{\alpha}$ . Поэтому следует выполнить следующие преобразования.

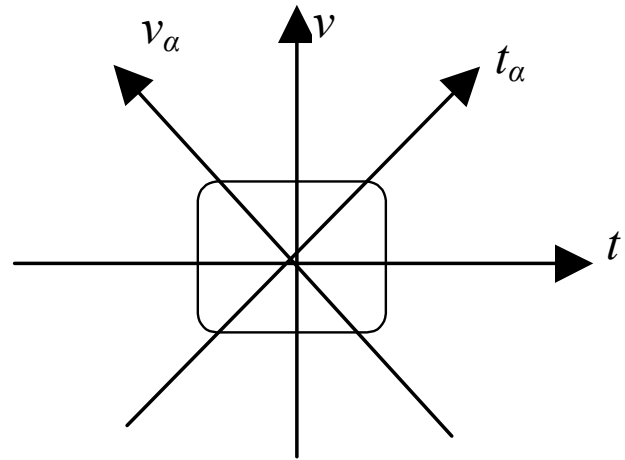
- Определяется ВЧР\_ВВ для ПО:

$$\begin{aligned} W_{\text{ПО}}(t_{\alpha}, v_{\alpha}) &= \int \text{ПО} \left( \frac{t_{\alpha} + t'/2 - t_{\alpha,0}}{\Delta t_{\alpha}} \right) \times \\ &\times \text{ПО} \left( \frac{t_{\alpha} - t'/2 - t_{\alpha,0}}{\Delta t_{\alpha}} \right) \times \exp(-2\pi j t' v_{\alpha}) dt = \\ &= \int \text{ПО} \left\{ \frac{t'}{2\Delta t_{\alpha} [1 - |2(t_{\alpha} - t_{\alpha,0})/\Delta t_{\alpha}|]} \right\} \times \\ &\times \exp(-2\pi j t' v_{\alpha}) dt' = \\ &= 2\Delta t_{\alpha} [1 - |2(t_{\alpha} - t_{\alpha,0})/\Delta t_{\alpha}|] \times \\ &\times \text{sinc} \left\{ 2\Delta t_{\alpha} [1 - |2(t_{\alpha} - t_{\alpha,0})/\Delta t_{\alpha}|] v_{\alpha} \right\}. \end{aligned} \quad (28)$$

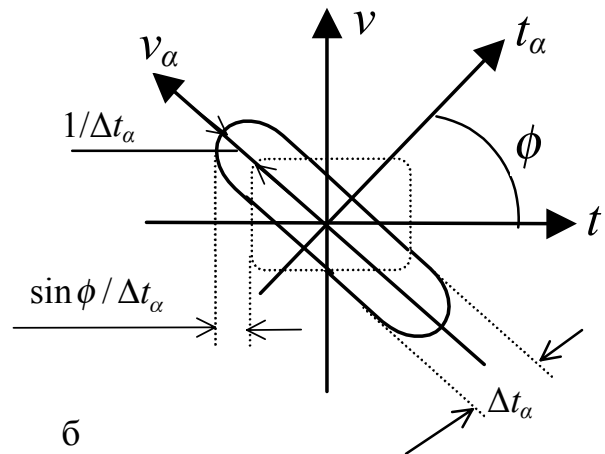
▪  $W_{\text{ПО}}(t_{\alpha}, v_{\alpha})$  выражается по (28) только при  $\text{ПО}((t_{\alpha} - t_{\alpha,0})/\Delta t_{\alpha}) = 1$ , и  $W_{\text{ПО}}(t_{\alpha}, v_{\alpha}) = 0$  — при  $\text{ПО}((t_{\alpha} - t_{\alpha,0})/\Delta t_{\alpha}) = 0$ . Замечаем, что ВЧР\_ВВ является ненулевым только вдоль коридора, определяемого функцией ПО. Следовательно, ограничение области определения  $\alpha$ -ВПФ сигнала (получение компактности средствами ПО) по  $t_{\alpha}$  обеспечивает компактность ВЧР\_ВВ в пределах коридора, который перпендикулярен оси  $t_{\alpha}$ , т. е. компактность ВЧР\_ВВ по переменной  $v_{\alpha}$ .

▪ Выполнение свертки  $W_{\text{ПО}}(t_{\alpha}, v_{\alpha})$  с ВЧР\_ВВ  $W_s(t_{\alpha}, v_{\alpha})$  (сигнала в области  $\alpha$ -ВПФ) по  $v_{\alpha}$  приводит в результате к уширению  $W_s(t_{\alpha}, v_{\alpha})$  по направлению  $v_{\alpha}$ . Это уширение сравнимо по величине с шириной  $W_{\text{ПО}}(t_{\alpha}, v_{\alpha})$  по  $v_{\alpha}$ . Огибающая для  $W_{\text{ПО}}(t_{\alpha}, v_{\alpha})$  как функция от  $v_{\alpha}$  (при данном значении  $t_{\alpha}$ ) равна  $1/(\pi v_{\alpha})$  и фактически не зависит от  $t_{\alpha}$ . Ширина основной части этого распределения  $W_{\text{ПО}}(t_{\alpha}, v_{\alpha})$  в направлении  $v_{\alpha}$  равна  $\sim 1/\Delta t_{\alpha}$  (рис. 1).

▪ Из-за резких перепадов у прямоугольного окна (ПО) уширение ВЧР\_ВВ по переменной  $v_{\alpha}$ , т. е. в направлении, перпендикулярном к  $t_{\alpha}$ , получается немного большим, чем возможная минимальная ширина ВЧР\_ВВ по метрологической оценке в рамках "принципа неопределенности" [22]. Однако при использовании (для получения компактности) сглаживающего окна большей гладкости можно снизить уширение до минимальной величины, диктуемой соотношением принципа время-частотной неопределенности.



а



б

**Рис. 1.** Время-частотное распределение Вигнера—Вилле (а) и характер его изменения при получении компактности по оси  $t_{\alpha}$  за счет введения прямоугольного окна (б). Здесь горизонтальное направление вторичного уширения ВЧР\_ВВ ( $\sin \phi / \Delta t_{\alpha}$ ) находится под углом  $\phi$  к  $v_{\alpha}$ -направлению основного уширения  $1 / \Delta t_{\alpha}$ , т. е.  $\Delta \phi$  в данном случае оказалось равным величине самого угла  $\phi$

Таким образом, получение компактности (ограничения области определения) ВЧР\_ВВ в направлении  $t_{\alpha}$  (любого  $\alpha$ -ВПФ) ведет к уширению этого распределения в ортогональном направлении ( $v_{\alpha}$ ) до величины  $\sim 1/\Delta t_{\alpha}$ . Это приводит также к уширению  $\approx |\sin \Delta \phi| / \Delta t_{\alpha}$  в любом другом

направлении в области ВПФ, отличающемся на угол  $\Delta\phi$ .

Отмеченные закономерности уширения ВЧР\_ВВ в направлении, ортогональном к тому, по которому получают компактность ВЧР введением ПО, отражают модификацию общего принципа неопределенности. Этот принцип свойственен всем время-частотным распределениям (в том числе Вигнера и вейвлет-представлению сигнала) безотносительно к вращению  $(t, \nu)$ -плоскости. Согласно этому принципу вычисленное значение ВЧР\_ВВ не может быть локализовано в области, меньшей чем  $\Delta t_\alpha \Delta \nu_\alpha \sim 1$ ; это предельно возможная разрешающая способность деталей ВЧР.<sup>14)</sup>

### ФИЛЬТРАЦИЯ В ОБЛАСТИ ВРАЩАЕМОГО ПРЕОБРАЗОВАНИЯ ФУРЬЕ [20]

При работе в области ПФ приходится ограничиваться линейными инвариантными к сдвигу (ЛИС) операциями, которые могут быть выражены в форме обычной свертки (т. е. в "нулевой области" — в области ВПФ с нулевым угловым параметром). Свертка в области ВПФ не относится к ЛИС-операциям, и в отдельных случаях это обеспечивает большие возможности фильтрации и мультиплексирования, когда их процедуры реализуются в области ВПФ.

В терминах ВПФ временная и частотная оси время-частотной плоскости трактуются как области определения сигнала при  $\alpha = 0$  и при  $\alpha = \pi/2$ . Тогда полное разделение сигнала от шума частотной фильтрацией методом ПФ, т. е. при  $\alpha = \pi/2$ , возможно только в том случае, если спектры сигнала и шума не накладываются. Достаточно простое разделение сигнала и шума при их несовпадении по времени может трактоваться как фильтрация при  $\alpha = 0$ . Однако, если ВЧР сигнала и шума занимают промежуточное положение (рис. 2), то их разделение возможно только фильтрацией в области  $\alpha$ -ВПФ  $\alpha = \pi/4$ , а частотное разделение (методом ПФ) или временное разделение неэффективно. В другом более сложном случае (на рис. 3 он представлен схематично) выделение сигнала из шума не может быть достигнуто ни частотным методом ПФ ни временным разделением, но может быть эффективно выполнено поочередной фильтрацией в области ВПФ с  $\alpha = 0$ ,  $\alpha = \pi/4$  и  $\alpha = \pi/2$ .

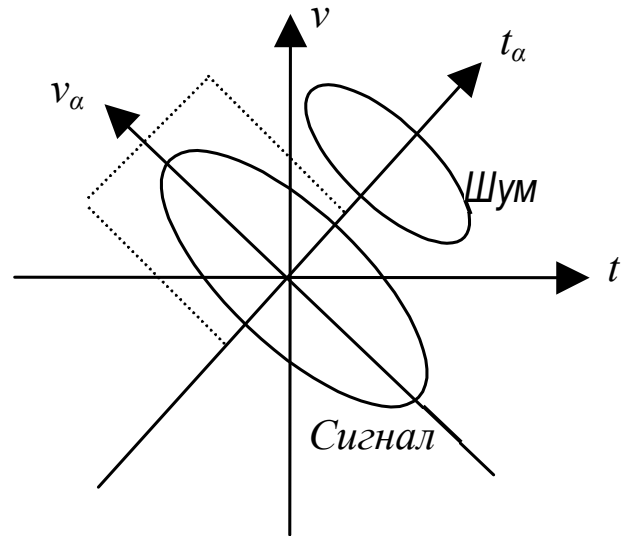


Рис. 2. Разделение сигнала и шума фильтрацией в области  $\alpha$ -ВПФ

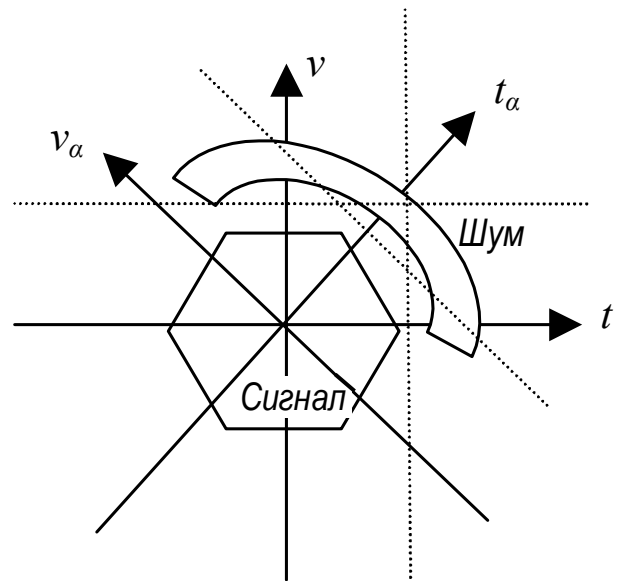


Рис. 3. Разделение сигнала и шума методом повторной фильтрацией в области  $\alpha$ -ВПФ при  $\alpha = 0$ ,  $\alpha = \pi/4$  и  $\alpha = \pi/2$

Преимущества фильтрации в области ВПФ (ВПФ-фильтрации) шире, чем показано на рассмотренных примерах с различной конфигурацией ВЧР\_ВВ сигнала и шума. Даже в случае частичного наложения этих распределений при ВПФ-фильтрации получается восстановление сигнала с близкой к минимальной среднеквадратичной ошибкой.

<sup>14)</sup> В частности, ниже относительно мультиплексирования и фильтрации в области ВПФ и представления набора сигналов их ВЧР-распределениями следует иметь в виду, что контуры ВЧР ограничивают почти 100%-ю энергию сигнала и в действительности слегка размыты в пределах ячейки неопределенности.



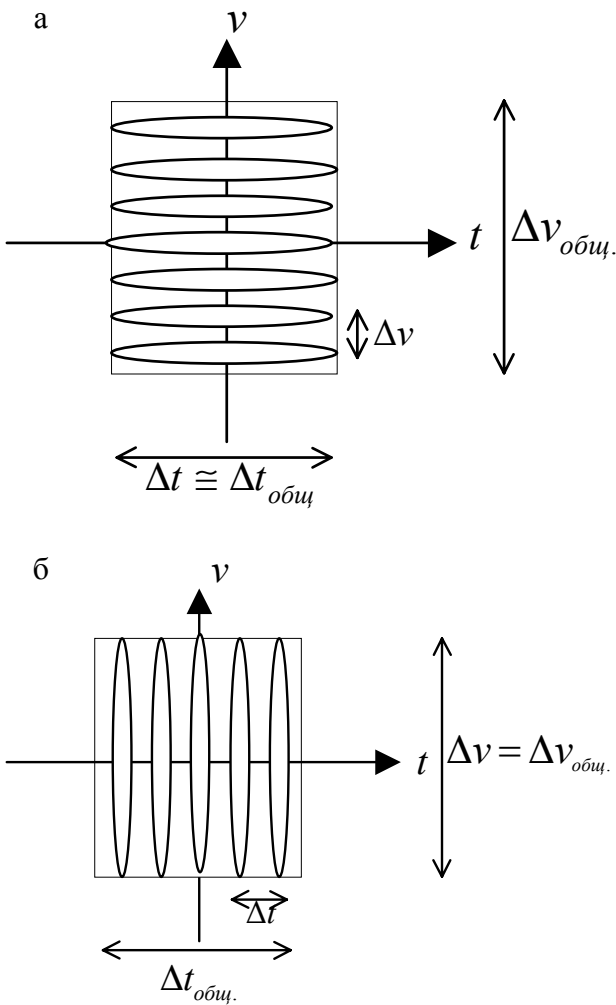


Рис. 4. Мультиплексирование в частотной (а) и временной (б) областях. Сигналы показаны своими время-частотными распределениями

**МУЛЬТИПЛЕКСИРОВАНИЕ В ОБЛАСТИ ВПФ**

Процедура мультиплексирования в частотной или временной области (при передаче в канал) состоит в объединении в пакет группы сигналов, которая компактна в этой области. Пакеты сдвигаются друг относительно друга так, чтобы они не накладывались и легко восстанавливались после приема; передача пакета может сопровождаться модуляцией содержащихся в нем сигналов. Отражение процедуры мультиплексирования в частотной и временной областях показано на рис. 4 для двух видов конфигурации группы сигналов, представленных своими ВЧР\_ВВ.

В первом случае предполагается, что сигналы имеют общую длительность  $\Delta t_{общ.}$ , а их частотный

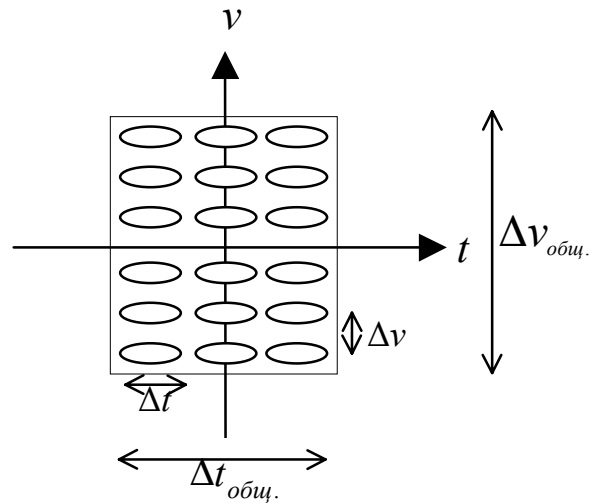
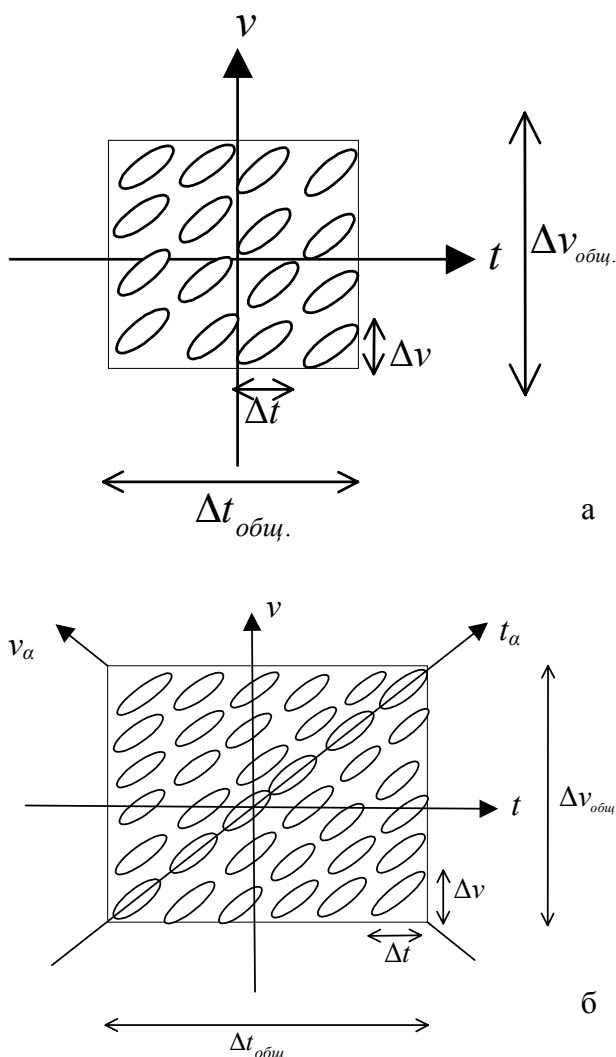


Рис. 5. Совместное мультиплексирование во временной и частотной областях. Сигналы показаны своими время-частотными распределениями (ВЧР условно представлены овалами)

диапазон  $\Delta \nu$  значительно меньше, чем общий диапазон  $\Delta \nu_{общ.}$ . Во втором случае — частотная полоса сигналов равна  $\Delta \nu_{общ.}$ , а их длительность  $\Delta t$  значительно меньше времени  $\Delta t_{общ.}$  формируемого пакета, который передается в канал.

В самом благоприятном случае у набора сигналов, подлежащих передаче, ВЧР могут быть таковы, что удовлетворяются оба описанные условия, т. е.  $\Delta t \ll \Delta t_{общ.}$  и  $\Delta \nu \ll \Delta \nu_{общ.}$ . Такой вариант схематично показан на рис. 5. Тогда возможно совместное временное и частотное мультиплексирование: производится временной сдвиг ВЧР сигналов (путем свертки с  $\delta$ -функцией) и частотный сдвиг ВЧР сигналов (умножением их на гармонический множитель  $e^{j2\pi \nu t}$ ).

Практически в более часто реализуемых ситуациях ВЧР имеют промежуточную конфигурацию с частичным наложением сигналов и по времени, и по частоте (рис. 6, а). В этом случае более эффективным является мультиплексирование в области ВПФ (рис. 6, б). Угловым параметр  $\alpha$ -ВПФ выбирается из соображений симметричного расположения осей  $\theta t_\alpha$  и  $\theta \nu_\alpha$  относительно ориентации ВЧР набора сигналов, подлежащих мультиплексированию и передаче в канал. В процессе мультиплексирования по этой схеме для упаковки сигналов следует выполнить для них переход в область  $\alpha$ -ВПФ с подходящим значением углового параметра. В этой области мультиплексирование осуществляется способом, описанном в пояснении к рис. 5.



**Рис. 6.** Неэффективность мультиплексирования сигналов с наложением их ВЧР\_ВВ (а) и более эффективное мультиплексирование в области ВПФ (б)

Процедура мультиплексирования с использованием поворота время-частотной плоскости может быть обобщена [20] на сигналы, у которых ВЧР не указано. При этом достаточно выполнить сдвиг ВЧР сигналов в подходящем направлении (в области преобразования Вигнера) и сделать это так, чтобы достичь наиболее эффективной упаковки. Как отмечено выше, сдвиг в направлении  $t$  включает умножение на  $\delta$ -функцию; сдвиг по  $v$  включает умножение на гармонический множитель. Сдвиг области ВПФ включает те же опера-

ции, но выполнение их теперь определяется правилами метода ВПФ<sup>15)</sup>.

**ЗАКЛЮЧЕНИЕ**

Проанализирована трактовка обобщенной модификации преобразования Фурье (ПФ) с использованием операторной формы и концепции собственных функций. Обобщенная модификация ПФ процедурно связана с вращением время-частотной плоскости, называется вращаемым ПФ (ВПФ) и реализуется в новых разновидностях рядов Фурье и ПФ дискретного времени. Рассмотрены соотношения ВПФ с время-частотными преобразованиями, с сигналами с быстро изменяющейся частотой (СБИЧ), возможности ВПФ при мультиплексировании и фильтрации нестационарных сигналов в ИИС.

■ Показана взаимосвязь ВПФ с время-частотными преобразованиями общего вида, с преобразованием Радона и с сигналами типа СБИЧ. Проанализирована специфика сигналов (в области их частотно-временной структуры), при которой методы ВПФ могут оказаться более эффективными сравнительно с традиционными способами мультиплексирования и частотной фильтрации.

■ Собственными функциями оператора ВПФ с угловым параметром  $\alpha$  (оператора  $\alpha$ -ВПФ) является ортонормированный набор  $\{\tilde{\Psi}_n(t)\}_{n=1,2,3,\dots}$  функций Эрмита-Гаусса

$$\tilde{\Psi}_n(t) = \frac{\sqrt[4]{2}}{\sqrt{2^n n!}} H_n(\sqrt{2\pi} t) \exp(-\pi t^2),$$

а соответствующий набор собственных значений —  $\{\lambda_n = (j)^{-\alpha n}\}_{n=1,2,3,\dots}$ .

■ ВПФ имеет два вида интегрального представления с ядром: одно представление использует фактическое значение угла  $\alpha$  вращения время-частотной плоскости, второе использует приведенное значение углового параметра  $\varphi = \alpha/(\pi/2)$ .

<sup>15)</sup> Сдвиг ВЧР\_ВВ сигнала в направлении  $t_\alpha$  может быть реализован также без перехода в область  $\alpha$ -ВПФ с помощью двух этапов. Сначала делается сдвиг по времени (т.е. по  $t_0$ ) путем свертки с  $\delta$ -функцией и затем сдвиг по частоте (т.е. по  $v = t_{\pi/2}$ ) путем умножения на гармонический множитель:

$$[s_0(t_0) * \delta(t_0 - t_{0(\text{сдвига})})] \times \exp(j2\pi v_{0(\text{сдвига})} t_0) = s[t_0 - t_{0(\text{сдвига})}] \exp(j2\pi v_{0(\text{сдвига})} t_0).$$

Преобразование в этой форме эквивалентно сдвигу сигнала в области  $\alpha$ -ВПФ:  $s_\alpha(t_\alpha) * \delta(t_\alpha - t_{0(\text{сдвига})}) = s_\alpha(t_\alpha - t_{0(\text{сдвига})})$ , и фазовый множитель не появится в распределениях ВЧП\_ВВ.

▪ Результат время-частотного преобразования Вигнера—Вилле (ВЧП\_ВВ) трактуется как распределение энергии в координатах "время и частота". Применение ВЧП\_ВВ к  $\alpha$ -ВПФ сигнала эквивалентно вращению ВЧП самого сигнала на угол  $\alpha$  (аналогичным свойством обладают и другие ВЧП класса Коэна при условии инвариантности к повороту формирующего ядра преобразования). Дополнительные свойства ВПФ отражены в следующих двух пунктах:

свертка двух сигналов в области ВПФ соответствует свертке (по временной переменной) двух ВЧР\_ВВ самих сигналов;

умножение двух сигналов (или свертка их ПФ) соответствует свертке (по частотной переменной) двух ВЧР\_ВВ самих сигналов.

▪ Еще одно свойство ВПФ связывает его одновременно с ВЧП\_ВВ и с преобразованием Радона ( $\mathbf{RAD}_\psi$ ). Результат применения оператора Радона к ВЧП\_ВВ сигнала эквивалентен квадрату модуля ВПФ этого сигнала для приведенного значения углового параметра.

▪ Показана схема введения ограничения области определения ВПФ и области ВЧР\_ВВ с поворотом время-частотной плоскости. Простейшая форма ограничения — это использование прямоугольного окна. Сокращение области определения по одной оси ведет к ее уширению по другой оси.

▪ Для ряда ситуаций мультиплексирование и фильтрация осуществляются более эффективно в области ВПФ, чем позволяет выполнение этих процедур традиционными методами — временным или частотным. Это показано путем представления динамики частотной структуры сигнала и шума в области ВЧП\_ВВ и вращения время-частотной плоскости.

▪ Отмечена возможность применения ВПФ к двумерным сигналам (типа изображения) и реализации такого ВПФ оптическими методами.

#### СПИСОК ЛИТЕРАТУРЫ

1. *Namias V.* The fractional Fourier transform and its application to quantum mechanics // *Journal of Institute of Mathematical Applications.* 1980. V. 25. P. 241–265.
2. *McBride A.C., Kerr F.H.* On Namias' fractional Fourier transforms // *IMA Journal of Applied Mathematics.* 1987. V. 39. P. 159–175.
3. *Mendlovic D., Ozaktas H.M.* Fractional Fourier transformations and their optical applications // *Journal of Optical Society of America A.* 1993. V. 10. P. 1875–1881
4. *Ozaktas H.M., Aytur O.* Fractional Fourier domain // *Signal Processing.* 1995. V. 46. P. 119–124.
5. *Lohmann A.W.* Image rotation, Wigner rotation, and the fractional Fourier transform // *Journal of Optic Society of America.* 1993. V. 10. P. 2181–2186.
6. *Меркушева А.В., Малыхина Г.Ф.* Методы и схемы анализа спектра сигналов на основе обобщенной модификации преобразования Фурье // *Научное приборостроение.* 2006. Т. 16, № 4. С. 97–105.
7. *Меркушева А.В.* Аналитические формы обработки сигналов в информационно-измерительных системах на основе обобщенной модификации преобразования Фурье // *Научное приборостроение.* 2005. Т. 15, № 4. С. 3–17.
8. *Lohman A.W., Mendlovic D.* Self-Fourier objects and other self-transform objects // *Journal of Optic Society of America.* 1992. V. 9. P. 2009–2012.
9. *Cincott G., Gori F., Santarsiero M.* Generalized self-Fourier functions // *Journal of Physics A.* 1992. V. 25. P. 1191–1194.
10. *Wiener N.* Hermit polynomials and Fourier analysis // *Journal of Mathematical Physics MIT.* 1929. V. 8. P. 70–73.
11. *Арсенин В.Я.* Методы математической физики и специальные функции. М.: Наука, 1984. 384 с.
12. *Прудников А.П., Брычков Ю.А., Маричев О.И.* Интегралы и ряды. Специальные функции. М.: Наука, 1983. 724 с.
13. *Dickinson B.W., Steiglitz K.* Eigenvectors and functions of the discrete Fourier transform // *IEEE Transactions on Acoustic, Speech and Signal Processing.* 1982. ASSP-30. P. 25–31.
14. *Hlawatsch F., Boudreaux-Bartels G.F.* Linear and quadratic time-frequency signal representation // *IEEE Signal Processing Magazine.* 1992. V. 9, N 4. P. 21–67.
15. *Loughlin P.* Non negative time-frequency representation // *IEEE Transactions on Signal Processing.* 1994. V. 42, N 10. P. 2697–2701.
16. *Guanaurd G.C., Strifors H.C.* Signal analysis by means of time-frequency transformation of Wigner type // *Proceedings of IEEE.* 1996. V. 84, N 9. P. 1231–1247.
17. *Меркушева А.В.* Классы преобразований нестационарного сигнала в информационно-измерительных системах. II. Время-частотные преобразования // *Научное приборостроение.* 2002. Т. 12, № 2. С. 59–70.
18. *Федоров Г.А., Терещенко С.А.* Вычислительная эмиссионная томография. М.: Энергоатомиздат, 1990. 184 с.
19. *Рабинер Л., Гоулд Б.* Теория и применение цифровой обработки сигналов. М.: Мир, 1978. 848 с.
20. *Ozaktas H.M., Barshan B., Mendlovic D., Onural L.* Convolution, filtering, and multiplexing in fractional Fourier domains and their relation to

- chirp and wavelet transforms // Journal of Optic Society of America A. 1994. V. 11, N 2. P. 547–557.
21. Almeida L.B. The fractional Fourier transform and time-frequency representations // IEEE Transactions on Signal Processing. 1994. V. 42. P. 3084–3091.
22. Malychina G.F., Mercusheva A.V. Metrological aspects of non-stationary signal transformation for dynamic spectrum analysis // 10th IMEKO TC7 International Symposium on Advances of Measurement Science, June 30 – July 2, 2004, Saint-Petersburg, Russia. V. 1. P. 212–216.

*Санкт-Петербург*

Материал поступил в редакцию 3.05.2006.

## GENERALIZED FOURIER TRANSFORM METHOD FOR TIME-FREQUENCY DISTRIBUTIONS, MULTIPLEXING AND FILTERING OF NON-STATIONARY SIGNALS IN INFORMATION-MEASUREMENT SYSTEMS (IMS)

A. V. Merkusheva, G. F. Malychina

*Saint-Petersburg*

An extended form of interpretation for Fourier transform (FT) generalized modification in terms of operator form and eigen-functions conception is presented. Generalization types designed for FT are associated with rotation of the time-frequency plane (hence the term "rotated FT" — RFT) and realized in new varieties of Fourier series and discrete time FT. The relations of RFT with time-frequency transforms, with chirp-signals and the possibility of RFT application to multiplexing and filtering non-stationary signals in IMS are considered.